

บทที่ 3

ผลการวิจัย (RESULTS)



3.1 สายพันธุ์ชันโรงที่เหมาะสมจะนำมาเลี้ยงเพื่อเก็บผลผลิต

3.1.1 สายพันธุ์ชันโรงที่เลี้ยงในประเทศไทย

โดยพื้นที่ที่ดำเนินการสำรวจนิดของชันโรงและทำการคัดเลือกสายพันธุ์ มีดังนี้

3.1.1.1 ตำบลลร่างบัว อ.จอมบึง จ.ราชบุรี เป็นพื้นที่โดยรอบรัศมีมหาวิทยาลัยเทคโนโลยีพระจอมเกล้าธนบุรี วิทยาเขตราชบุรี ซึ่งมีป่าเต็งรังที่มีความสมบูรณ์ดี มีการเพาะปลูกพืชซึ่งเป็นอาหารของผึ้งได้กว่า 40 ชนิด บริเวณหมู่บ้านไกลเคียงมีพืชอาหารที่ชันโรงสามารถนำมาใช้สร้างน้ำหวานและเกสรได้ตลอดปี เช่น มะขาม มะเฟือง ชมพู ชันโรงที่พบส่วนใหญ่จะเป็นชนิด *Trigona pagdeni* *Trigona laeviceps* และพบชันโรงชนิด *Trigona apicalis* ที่อาศัยอยู่ตาม旁รไม้ และ *Trigona collina* อาศัยอยู่ใน旁รได้ดีน

3.1.1.2 เกษตรกรผู้เลี้ยงชันโรงในเขตจังหวัดจันทบุรี ครอบคลุมพื้นที่ อ.มะขาม อ.ท่าใหม่ เกษตรกรส่วนใหญ่เป็นชาวสวนผลไม้ซึ่งทำการเลี้ยงชันโรงไว้สำหรับใช้ผสมเกสร เพิ่มผลผลิตผลไม้และได้ประโยชน์จากการค้าจากผลผลิตของชันโรง อีกที่ น้ำผึ้ง พรอพอริส แม้กระหั้นการให้เช่ารังชันโรง พื้นที่จังหวัดจันทบุรีมีความอุดมสมบูรณ์ของพืชอาหารที่ชันโรงต้องการมาก ทั้งสภาพภูมิศาสตร์ของพื้นที่ยังเอื้ออำนวยต่อการเจริญเติบโตและการขยายพันธุ์ ทำให้สามารถพบชันโรงได้หลากหลายชนิด

3.1.1.3 ศูนย์ผึ้งจังหวัดจันทบุรี การพัฒนา ขยายพันธุ์ชันโรง ให้ความรู้กับเกษตรกรภายในพื้นที่ ติดต่อประสานงานกับศูนย์ผึ้งทั่วประเทศ อีกที่ เช่น ศูนย์ผึ้งจังหวัดพิษณุโลก เชียงใหม่ ขอนแก่น และชุมพรเกี่ยวกับความก้าวหน้าของการเพาะเลี้ยงชันโรง ให้ข้อมูลเกี่ยวกับพันธุ์ชันโรงที่ทางศูนย์ต่างๆ ทำการเพาะเลี้ยง วิธีการเพาะเลี้ยงและขยายพันธุ์ ประโยชน์ของชันโรง และผลิตภัณฑ์ที่ได้จากชันโรง การแปรรูปผลผลิตจากชันโรงให้เป็นผลิตภัณฑ์ เช่น ยาหม่องจากไข่ผึ้ง สนุ่น้ำผึ้ง ครีมบำรุงผิวผสมนมผึ้ง ชันโรงที่มีส่วนใหญ่เป็นชนิดที่ให้ประโยชน์ทางเศรษฐกิจ

3.1.1.4 พื้นที่จังหวัดภาคใต้ของประเทศไทย เช่น ชุมพร สุราษฎร์ธานี มีการรณรงค์ให้เกษตรกรเลี้ยงชันโรงเพื่อประโยชน์ทางการเกษตร เช่น การซ่วยผสมเกสรในสวนผลไม้

3.1.1.5 กลุ่มเกษตรตำบลบางขันแตก อ. เมือง จ. สมุทรสงคราม สภาพแวดล้อมส่วนใหญ่เป็นสวนมะพร้าว ทำให้มีอาหารเพียงพอตลอดปี มีประชากรชันโรงจำนวนมากแต่ค่อนข้างมีความหลากหลายของชนิดชันโรงน้อย คือพบมากในชนิด *T. pagdeni* และ *T. laeviceps*

3.1.1.6 กลุ่มเกษตรตำบล อ. กำแพงแสน นครปฐม เป็นพื้นที่เลี้ยงชันโรงเชิงเศรษฐกิจ อีกแห่งหนึ่ง เป็นเครือข่ายความร่วมมือกับกลุ่มผู้เลี้ยงชันโรงในจังหวัดจันทบุรี กลุ่มนี้มีจำนวนสมาชิกอยู่ถึง 41 คน และนับเป็นกลุ่มเกษตรกรผู้เลี้ยงชันโรงที่มีความเข้มแข็งที่สุดในพื้นที่ภาคตะวันตก

สำนักงานคณะกรรมการวิจัยแห่งชาติ	
ห้องสมุดงานวิจัย	
วันที่ 02 ก.พ. 2555	
เลขทะเบียน.....	
249898	
เลขเรียงตามลำดับ.....	

3.1.2 ชีววิทยาของชันโรงแต่ละชนิดและลักษณะพื้นที่วิจัย

จากการสำรวจพืชในประเทศไทยมีชันโรงที่สามารถนำมาเพาะเลี้ยงได้อย่างน้อย 7 ชนิด ได้แก่ *T. pagdeni*, *T. laeviceps*, *T. terminata*, *T. fascobultiata*, *T. apicalis*, *T. collina* และ *T. minor* โดยมี 4 ชนิดเป็นที่นิยมเลี้ยงมากที่สุด ได้แก่

1. *T. pagdeni*

ปากทางเข้ารังเป็นห่อ ปากกว้าง ผนังแข็ง สีน้ำตาลออกรำعانถึงเทา ปากทางรังขยายออกทางด้านข้าง ภายในรังประกอบด้วยกลุ่มเซลล์ตัวการเรียงตัวแบบแบ่งช้อนแบบเป็นชั้นในแนวนอน ในรังแบบเลี้ยงอาจมองเห็นชั้นไม้ชัด ภายในกลุ่มเซลล์ตัวอ่อน ประกอบด้วยหลอดเซลล์ตัวหนอน และหลอดเซลล์ตักแด๊ กลุ่มเซลล์ตัวอ่อนไม่พบผนังปิด กลุ่มถ่ายที่เก็บอาหาร ประกอบด้วยถ่ายเก็บเกรสรและถ่ายเก็บน้ำผึ้ง วางตัวปะปนอยู่ด้านล่างของรังตัวอ่อน (ภาพที่ 7)



ภาพที่ 7 แสดงลักษณะทั่วไปของ *T. pagdeni* (ก) ปากทางเข้ารังของ (ข) กลุ่มตัวอ่อนและตักแด๊ เซลล์เก็บเกรสร และน้ำหวาน

2. *T. laeviceps*

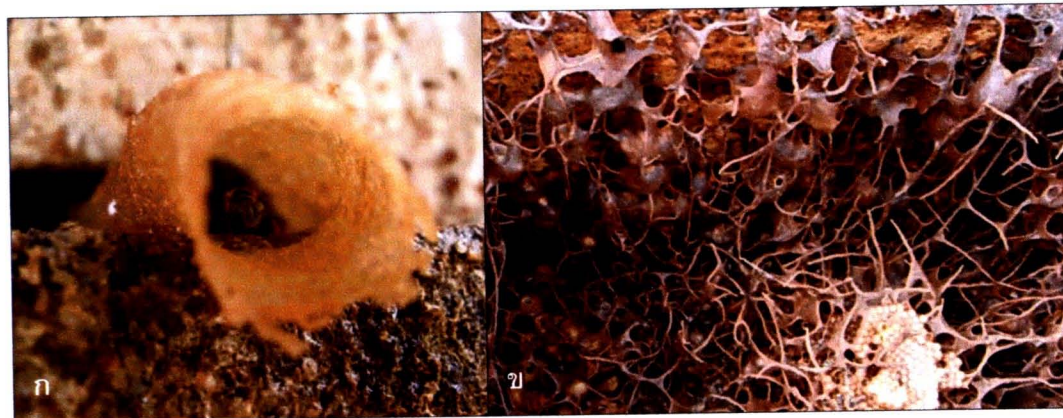
T. laeviceps มีปากทางเข้ารังน้ำตาลเข้มหรือสีอ่อน มีลักษณะแข็งตรงตันฐานของปากทางและมีความเหนียวและอ่อนนุ่ม ส่วนปลายและขอบในปากทางเข้ารังค่อนข้างสั้นและไม่มีหอยดายาออกมาก เซลล์ตัวอ่อนเรียงเป็นแบบกลุ่มก้อนช้อนกันหลายๆ ชั้น เซลล์เก็บน้ำผึ้งและเกรสรเป็นถวยกลมวางเรียงช้อนกันเป็นกลุ่ม (Sakagami et al., 1983; อัชลี, 2546; Dollin, 1996) (ภาพที่ 8)



ภาพที่ 8 แสดงลักษณะทั่วไปของ *T. laeviceps* (ก) ปากทางเข้ารังของ (ข) กลุ่มตัวอ่อนและดักแด้ เชลล์เก็บเกสร และน้ำหวาน

3. *T. terminata*

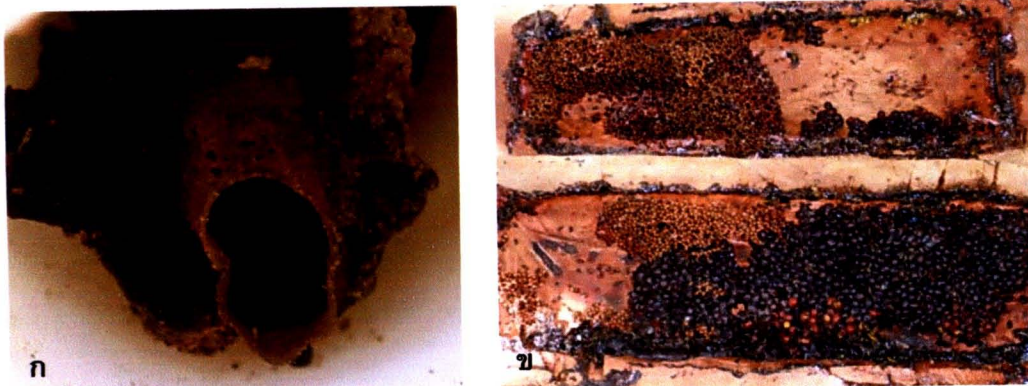
T. terminata อยู่ใน sub genus *Lepidotrigona* เป็นชันโรงที่ค่อนข้างบอบบาง มีขนาด 4.0 - 5.5 ม.ม. ปากทางเข้ารังมีสีเปลี่ยนแปลงได้ อ่อนนุ่ม ผนังลาดตรง ผิวเรียบ ไม่มีความเห็นจะหนาแน่น สามารถผ่านเข้าไปได้ครั้งหลาย ๆ ตัว ขอบด้านข้างขยายออกเป็นปากแตร เชลล์ตัวอ่อนเรียงตัวเป็นแบบวงซ้อนตามแนวอนุเชลล์เก็บอาหาร มีลักษณะคล้ายถังหมักเบียร์วางซ้อนกันอยู่ เชลล์เก็บน้ำผึ้งมีสีน้ำตาลปนดำเป็นถ่ายรูปกลมขนาดใหญ่ แต่ละเชลล์เชื่อมกันมองเห็นเป็นลักษณะเครือข่าย แต่มีความบอบบางมาก เชลล์เก็บเกสรมีขนาดใกล้เคียงกับเชลล์เก็บน้ำผึ้ง (วันท่า, 2546; Dollin, 1996) (ภาพที่ 9)



ภาพที่ 9 แสดงลักษณะทั่วไปของ *T. terminata* แสดงลักษณะ (ก) ปากทางเข้ารัง (ข) กลุ่มตัวอ่อนและดักแด้ เชลล์เก็บเกสร และน้ำหวาน

4. *T. fuscobalteata*

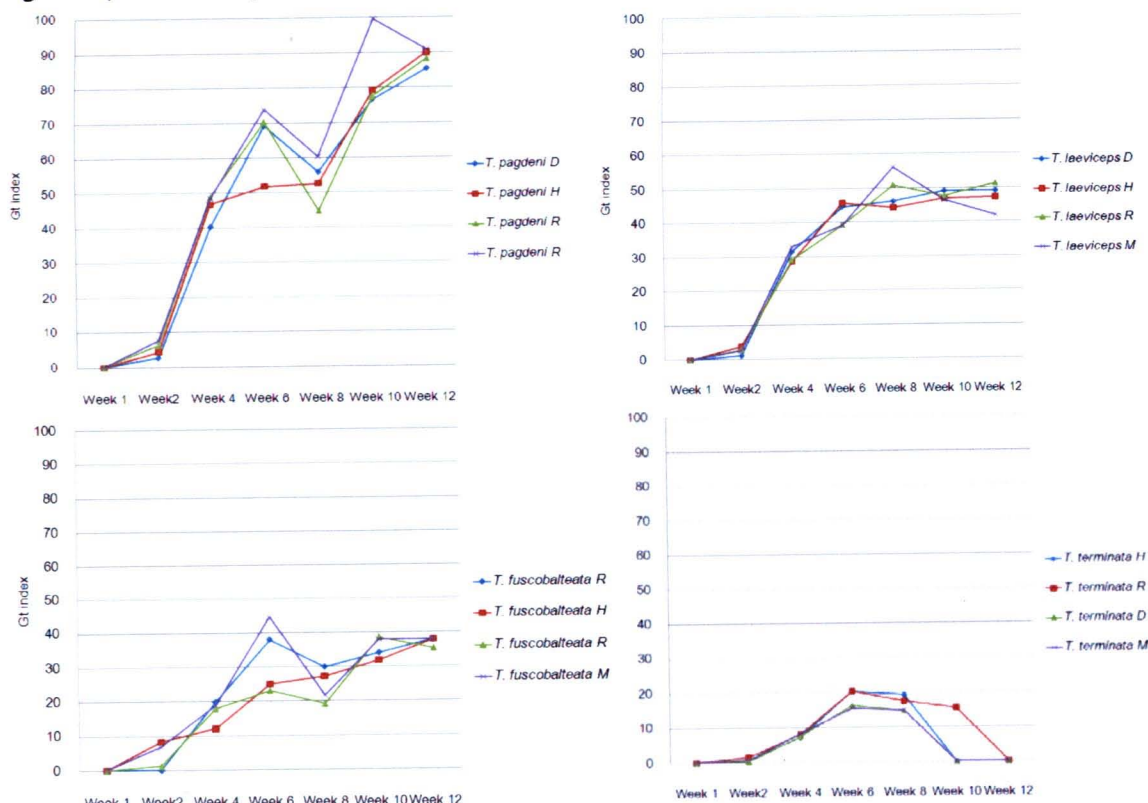
T. fuscobalteata มีลักษณะปากรังไม่มีห่อ สีอ่อนหรือสี อ่อนนุ่ม ผนังบาง ค่อนข้างเรียบ ปกติลาดตรง มีความเห็นจะหนาแน่น ปากทางเข้าด้านข้างบางครั้งก็ขยายขนาดตัวเล็ก เชลล์น้ำหวานและเกสรมีลักษณะกลม อยู่เป็นกลุ่ม น้ำผึ้งมีสีอ่อนสวยงาม เป็นชนิดที่มีขนาดเล็กที่สุดเมื่อเปรียบเทียบกันทั้ง 3 ชนิด (ภาพที่ 10)



ภาพที่ 10 แสดงลักษณะทั่วไปของ *T. fuscobalteata* และลักษณะ (ก) ปากทางเข้ารัง (ข) กลุ่มตัวอ่อนและตัวเด็จ เซลล์เก็บเกรส และน้ำหวาน

3.1.3 การเจริญเติบโตของรังชันโรงภารวิเคราะห์ด้วยวิธี Image Analysis

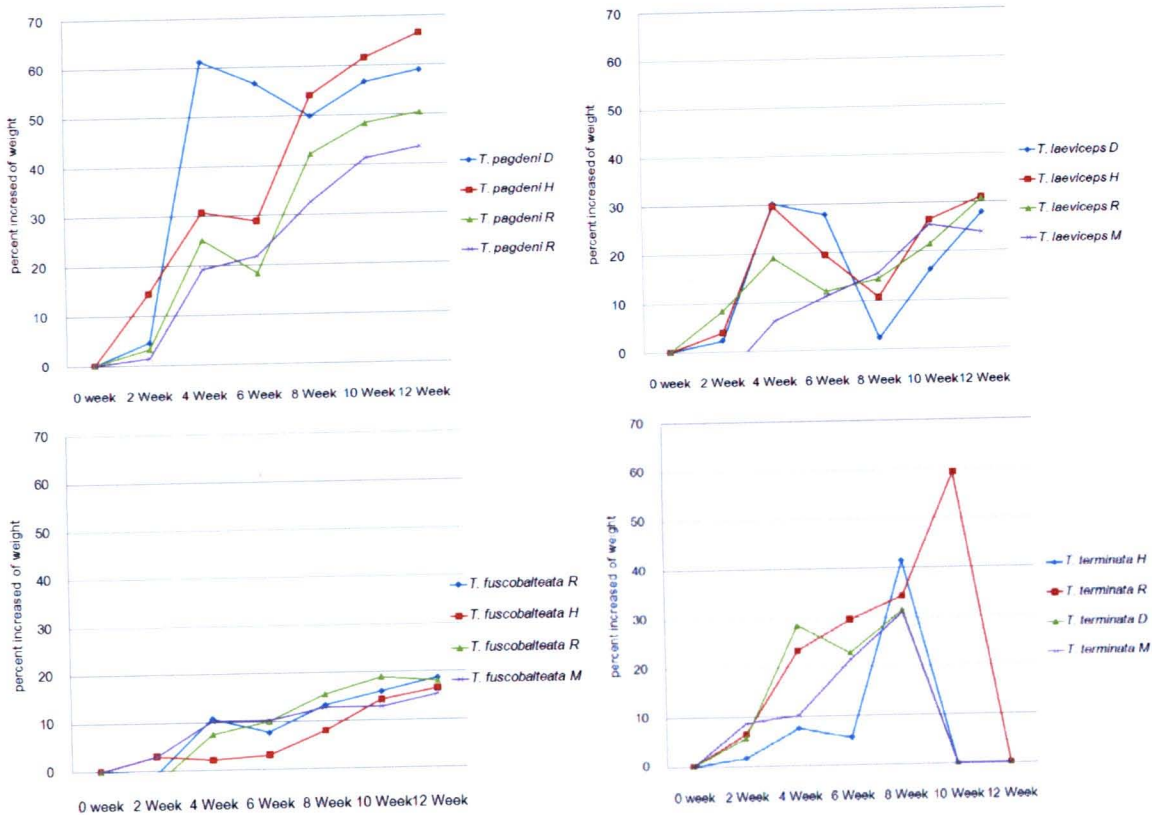
การเปลี่ยนแปลงปริมาตรของเซลล์ใน ตัวอ่อน ตัวเด็จ น้ำหวานและเกรส รังมีการเจริญเติบโตแตกต่างกันอย่างมีนัยสำคัญ ($P < 0.01$) ในชันโรงทั้ง 4 ชนิด โดยชันโรงชนิด *T. pagdeni* ($1,011.45 \pm 121.27$ g/week) และ *T. terminata* (786.93 ± 84.50 g/week) มีอัตราการเจริญเติบโตสูงที่สุดจากนั้นเป็น *T. laeviceps* (628.23 ± 11.19 g/week) และ *T. fuscobalteata* (84.06 ± 31.02 g/week) ตามลำดับ (ภาพที่ 11)



ภาพที่ 11 แสดงการเปลี่ยนแปลงปริมาตรเซลล์ใน ตัวอ่อน ตัวเด็จ น้ำหวานและเกรส (Gt Index) ของรังทุก 2 สัปดาห์ ตลอดช่วงการเลี้ยง 3 เดือน

การเปลี่ยนแปลงของน้ำหนักรัง

ร้อยละการเปลี่ยนแปลงน้ำหนักของรังมีการเจริญเติบโตแตกต่างกันอย่างมีนัยสำคัญในชั้นโรงทั้ง 4 ชนิด โดยชั้นโรงชนิด *T. pagdeni* (37.20 ± 9.95) และ *T. laeviceps* (17.19 ± 3.15) มีอัตราการเจริญเติบโตสูงที่สุด จากนั้นเป็น *T. terminata* (15.39 ± 7.12) และ *T. fuscobalteata* (10.22 ± 1.58) ตามลำดับ อย่างไรก็ตาม ชั้นโรงชนิด *T. terminata* มีอัตราการหนีรังสูงที่สุด โดยพบรากุรัง (ที่เลี้ยงในกล่อง) หนีรังทั้งหมดเมื่อนำมาเลี้ยงได้ 3 เดือน (ภาพที่ 12)



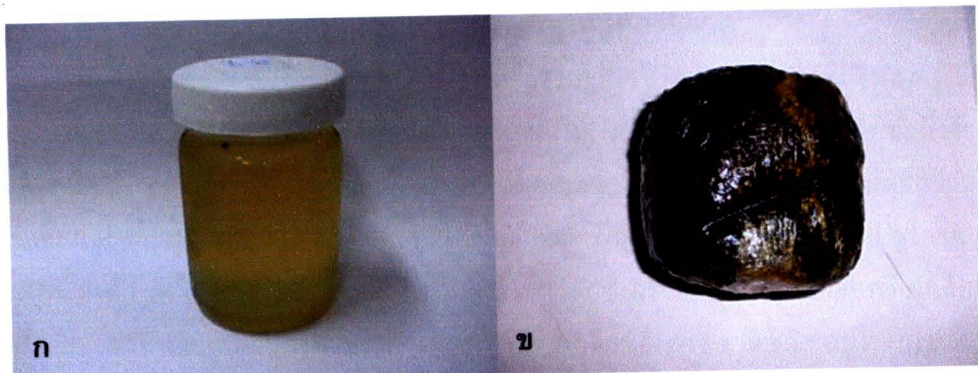
ภาพที่ 12 แสดงการเปลี่ยนแปลงของน้ำหนักรังทุก 2 สัปดาห์ ตลอดช่วงการเลี้ยง 3 เดือน

3.1.4 ผลผลิตที่ได้

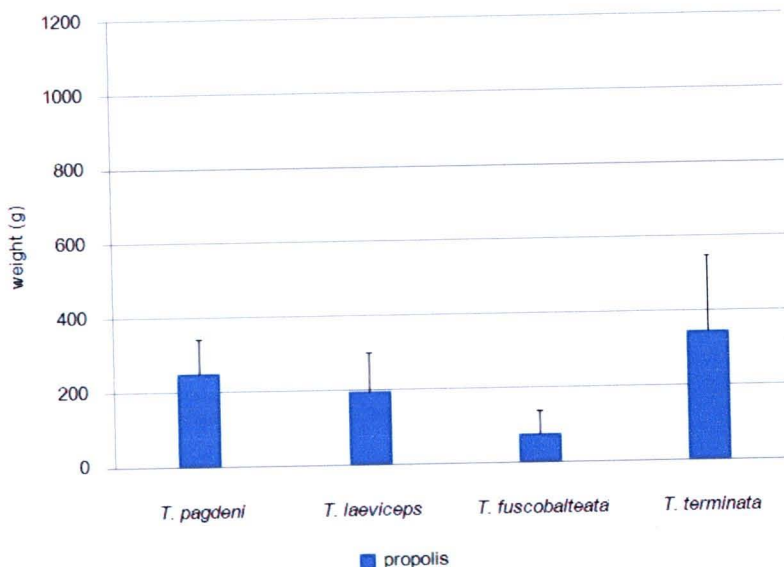
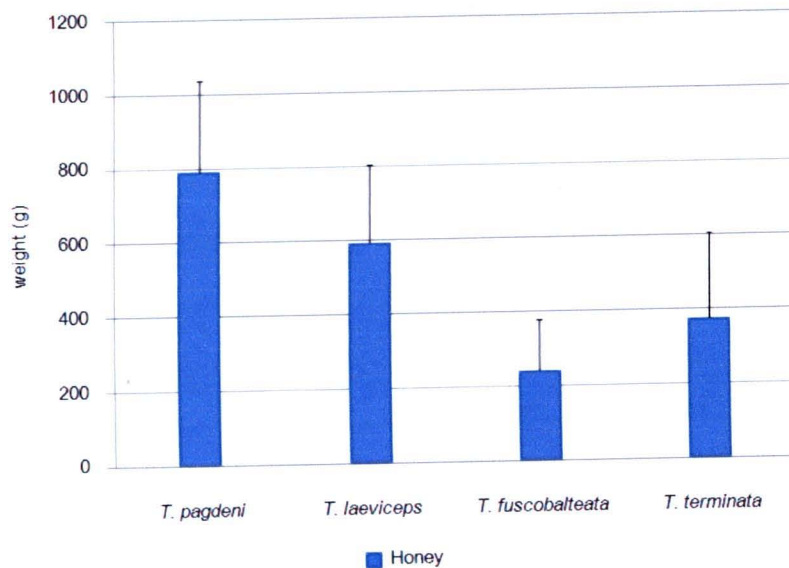
3.1.4.1 น้ำผึ้งและพรอพอลิส

จากการเก็บผลผลิต (ภาพที่ 13) ชั้นโรงให้ผลผลิตน้ำผึ้งแตกต่างกันอย่างมีนัยสำคัญ ($n=5$, $p = 0.025$) โดยเก็บได้เฉลี่ยต่อกรั้ง 739 ± 245 กรัม ใน *T. pagdeni*, 594 ± 210 กรัม ใน *T. laeviceps*, 374 ± 230 กรัม ใน *T. terminata* และ 240 ± 245 กรัม ใน *T. fuscobalteata* (ภาพที่ 14)

ผลผลิตพรอพอลิสเก็บได้เฉลี่ยต่อกรั้งแตกต่างกันอย่างมีนัยสำคัญ ($n=5$, $p = 0.04$) 346 ± 203 กรัม ใน *T. terminata*, 250 ± 92 กรัม ใน *T. pagdeni*, 196.6 ± 104.97 กรัม ใน *T. laeviceps* และ 76.56 ± 60.7 กรัม ใน *T. fuscobalteata* (ภาพที่ 14)



ภาพที่ 13 ผลผลิตที่ได้จากชันโรง (ก) น้ำผึ้ง (ข) พรอพอลิส



ภาพที่ 14 น้ำหนักผลผลิตเฉลี่ยที่เก็บได้ น้ำผึ้ง (honey) และพรอพอลิส (propolis) จากชันโรงทั้ง 4 ชนิด

3.2 การวิเคราะห์น้ำผึ้งจากชันโรงเพื่อสร้างมาตรฐานสู่ท้องตลาด

ผลการวิเคราะห์น้ำผึ้งทั้ง 3 ชนิด ตามมาตรฐานอุตสาหกรรม (มอก.) น้ำผึ้ง (*T. fuscobalteata* สามารถเก็บน้ำผึ้งได้น้อยมาก ปริมาณไม่เพียงพอต่อการตรวจ) โดยน้ำผึ้งจากชันโรง ทั้ง 3 ชนิด *T. pagdeni* *T. laeviceps* และ *T. terminata* มีระดับน้ำตาลรีดิวซิงน้อยกว่ามาตรฐาน ความชื้นและความเป็นกรดสูงกว่ามาตรฐาน โดยลักษณะอื่นๆ ได้แก่ ลักษณะทั่วไป ชูโครส สารที่ไม่ละลายน้ำ เก้า ค่าไಡแอดสเตส ออกดิวิตี ปริมาณไฮดรอกซีเมทิลเฟอร์ฟิวรัล กรดหรือเกลือของกรดเบนโซอิก กรดหรือเกลือของกรดซอร์บิก กรดหรือเกลือของกรดชาลิซิลิก อยู่ในเกณฑ์มาตรฐาน พร้อมทั้งยังไม่พบส่วนผสมของแซ็กคาเริน ซัยคลามेट สีผงสมออาหาร (ตารางที่ 1)

ตารางที่ 1 ผลการวิเคราะห์นำเสนอผังจากนั้นโรงตามมาตรฐานอุตสาหกรรม

คุณสมบัติ	ผลการทดสอบ			
	<i>T. pegdeni</i>	<i>T. laeviceps</i>	<i>T. terminata</i>	
ลักษณะทั่วไป	เกณฑ์มาตรฐาน	เกณฑ์มาตรฐาน	ข้อlongest	ข้อlongest
นำตาลริดวัชคงคิดเป็นน้ำตาลกินเวรด (ร้อยละ)	≥ 65	61.4 *	55.5 *	42.5 *
ความชื้น (ร้อยละ)	≤ 21	23.3 *	23.6 *	23.3 *
ญี่โภส (ร้อยละ)	≤ 5	ไม่พบ	ไม่พบ	ไม่พบ
สารที่ไม่ละลายได้ (ร้อยละ)	≤ 0.1	0.06	0.34	0.20
น้ำ (ร้อยละ)	≤ 0.6	0.25	0.24	0.25
ความเป็นกรด (มิลลิอีกิวาราเอนกอรอกอรด/กิโลกรัม)	≤ 40	113.6 *	112.4 *	206.8 *
ค่าไดออก็อตเตส เแทกติวิต (Goethe scale)	≥ 3	ไม่พบ	ไม่พบ	ไม่พบ
ปริมาณไออก็อตเตลเพอร์ฟิวส์ (มิลลิกรัม/กิโลกรัม)	≤ 80	28.8	20.2	20.0
สีผงอาหาร (มิลลิกรัม/กิโลกรัม)	ไม่พบ	ไม่พบ	ไม่พบ	ไม่พบ
กรดหรือโซเดียมอนต์โซดา (มิลลิกรัม/กิโลกรัม)	ไม่พบ	ไม่พบ	ไม่พบ	ไม่พบ
กรดหรือกลีเซอโรฟอร์บิก (มิลลิกรัม/กิโลกรัม)	ไม่พบ	ไม่พบ	ไม่พบ	ไม่พบ
กรดหรือโซเดียมอนต์โซดา (มิลลิกรัม/กิโลกรัม)	ไม่พบ	ไม่พบ	ไม่พบ	ไม่พบ
แม็คคาโรน (มิลลิกรัม/กิโลกรัม)	ไม่พบ	ไม่พบ	ไม่พบ	ไม่พบ
ซีบคลาเมด (มิลลิกรัม/กิโลกรัม)	ไม่พบ	ไม่พบ	ไม่พบ	ไม่พบ

* ค่าเฉลี่ยและข้ออ่อนผ่านเกณฑ์มาตรฐานแห่งชาติ (ตามมาตรฐานอุตสาหกรรม)

3.3 ผลการศึกษาสารออกฤทธ์ทางชีวภาพในน้ำผึ้งและพรอพอลิสจากชันโรง

3.3.1 ลักษณะทางกายภาพของน้ำผึ้งและสารสกัดพรอพอลิส

น้ำผึ้ง: จะมีลักษณะเหนียวข้น มีสีน้ำตาลทองคล้ายสีน้ำผึ้งแต่มีลักษณะใสกว่า

พรอพอลิส: สารสกัดจะมีลักษณะเหนียวข้นมาก มีสีแตกต่างกันไปแล้วแต่ชนิดของชันโรง

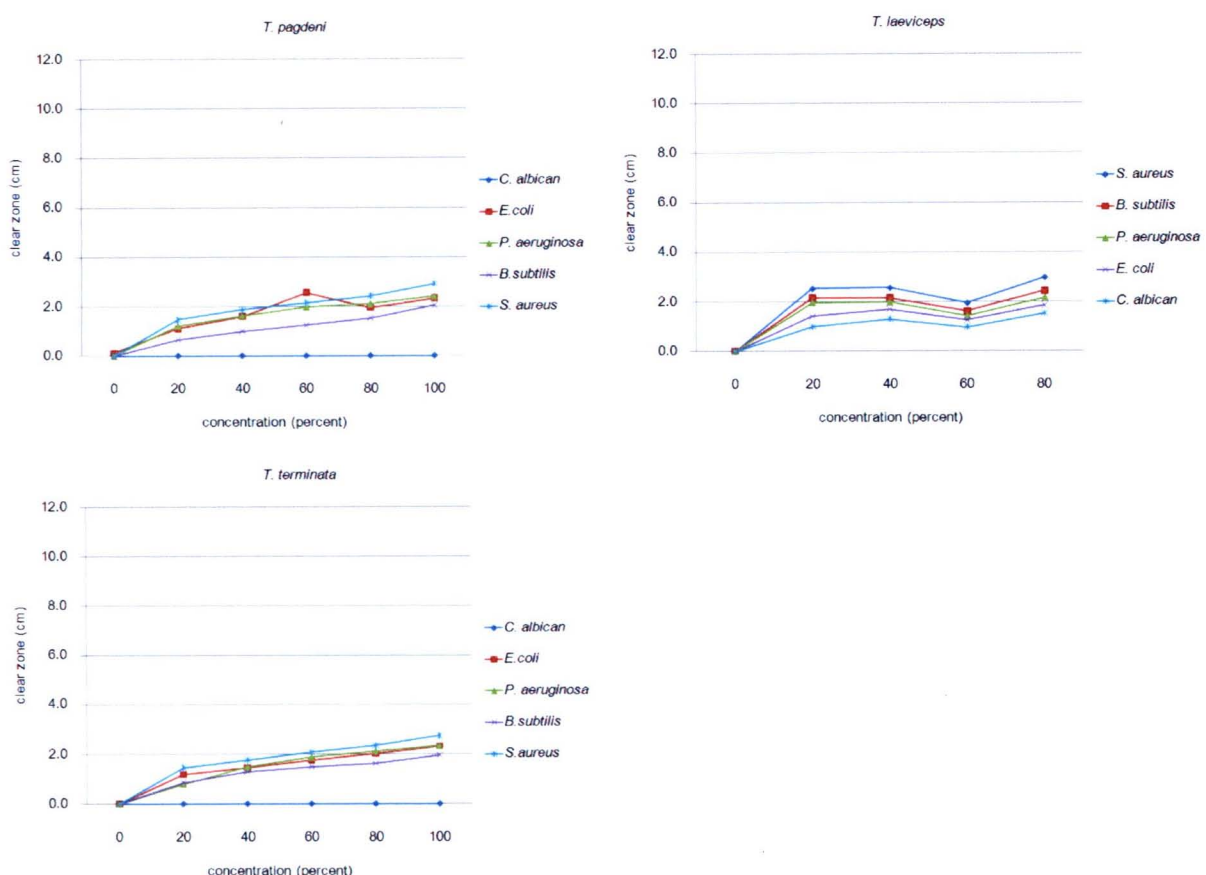
สารสกัดพรอพอลิสจาก *T. pagdeni*: มีสีน้ำตาลเข้ม ลักษณะเหนียวมาก

สารสกัดพรอพอลิสจาก *T. laeviceps*: มีสีน้ำตาลเข้ม มีความเหนียวมาก

สารสกัดพรอพอลิสจาก *T. terminata*: มีสีน้ำตาลน้ำตาลแดงทอง ลักษณะเหนียววนอุยกว่าสองชนิดข้างต้น

3.3.2 ผลการทดสอบฤทธิ์ในการต้านการเจริญของจุลินทรีย์ ด้วยวิธี Agar Diffusion Assay

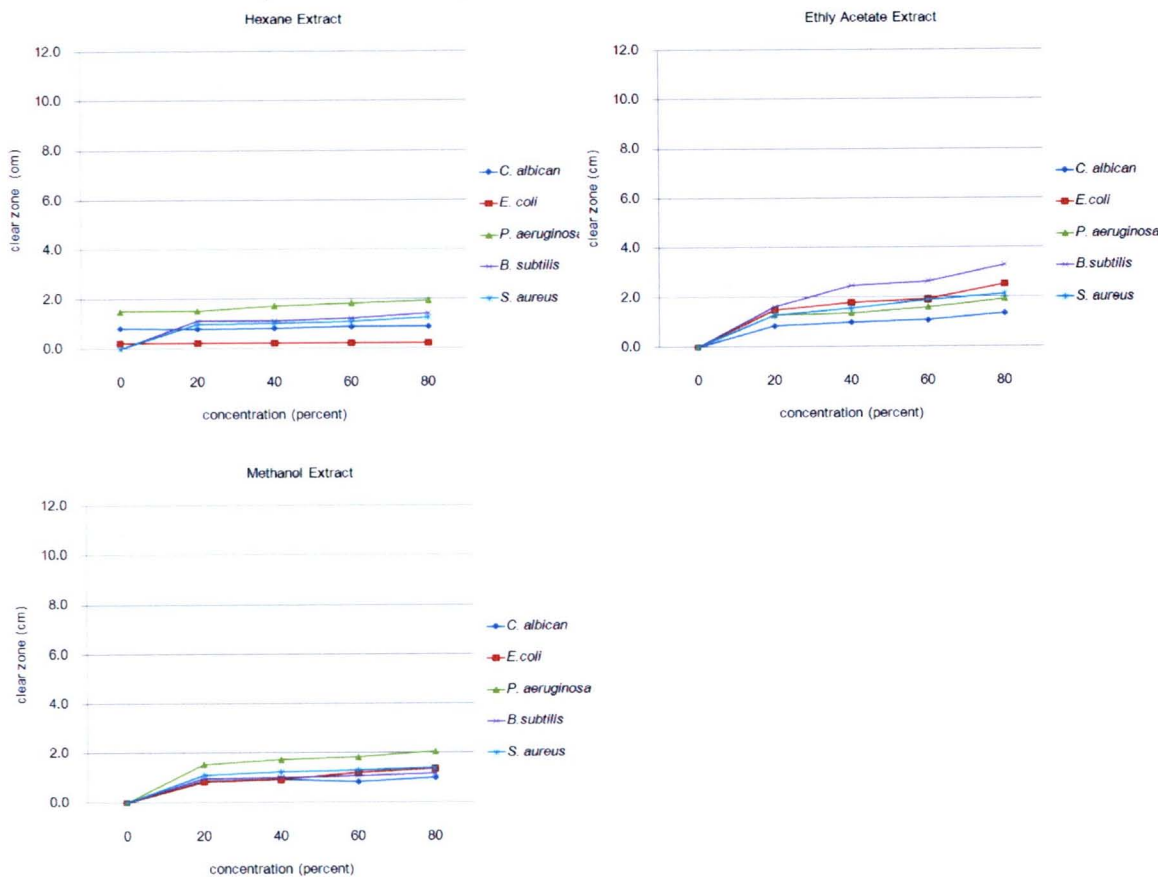
ผลการทดสอบฤทธิ์ในการต้านการเจริญของจุลินทรีย์ทั้ง 5 ชนิดในเบื้องต้นด้วยน้ำผึ้ง พบว่า น้ำผึ้งจากชันโรงทั้ง 3 ชนิด สามารถยับยั้งการเจริญของ *C. albican*, *E.coli*, *P. aeruginosa*, *B. subtilis* และ *S. aureus* ได้อย่างดี (ภาพที่ 15)



ภาพที่ 15 ขอบเขตการยับยั้ง (clear zone) จากการทดสอบด้วยน้ำผึ้งจากชันโรง 3 ชนิด (ด้วยวิธี agar diffusion assay)

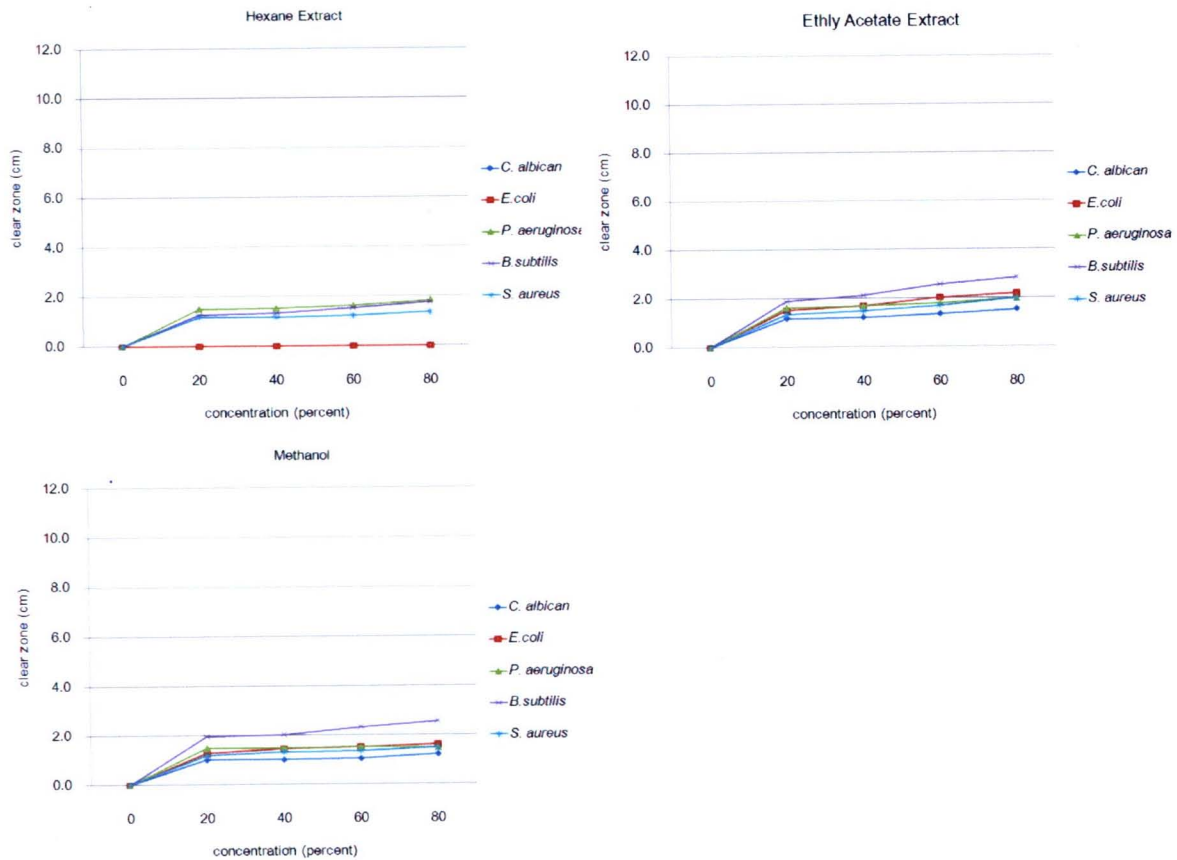
ผลการทดสอบฤทธิ์ในการต้านการเจริญของจุลินทรีย์ทั้ง 5 ชนิดในเบื้องต้นด้วยสารสกัด hairy probiotics พบว่า probiotics สามารถยับยั้งการเจริญของ *E.coli*, *P. aeruginosa*, *B. subtilis* และ *S. aureus* ได้อย่างดี แต่มีprobioticsจากบางชนิดเท่านั้นที่สามารถยับยั้ง *C. albican* ได้ (รูปที่ 16-18)

สารสกัด hairy probiotics จาก *T. pagdeni* สารสกัด hairy Ethyl Acetate ให้ผลยับยั้งการเจริญของจุลินทรีย์ได้ดีที่สุด จากนั้นคือสารสกัด hairy Methanol ส่วนสารสกัด hairy Hexane ยับยั้งการเจริญของจุลินทรีย์ได้น้อยที่สุด และไม่สามารถยับยั้ง *E. coli* ได้เลย (ภาพที่ 16)



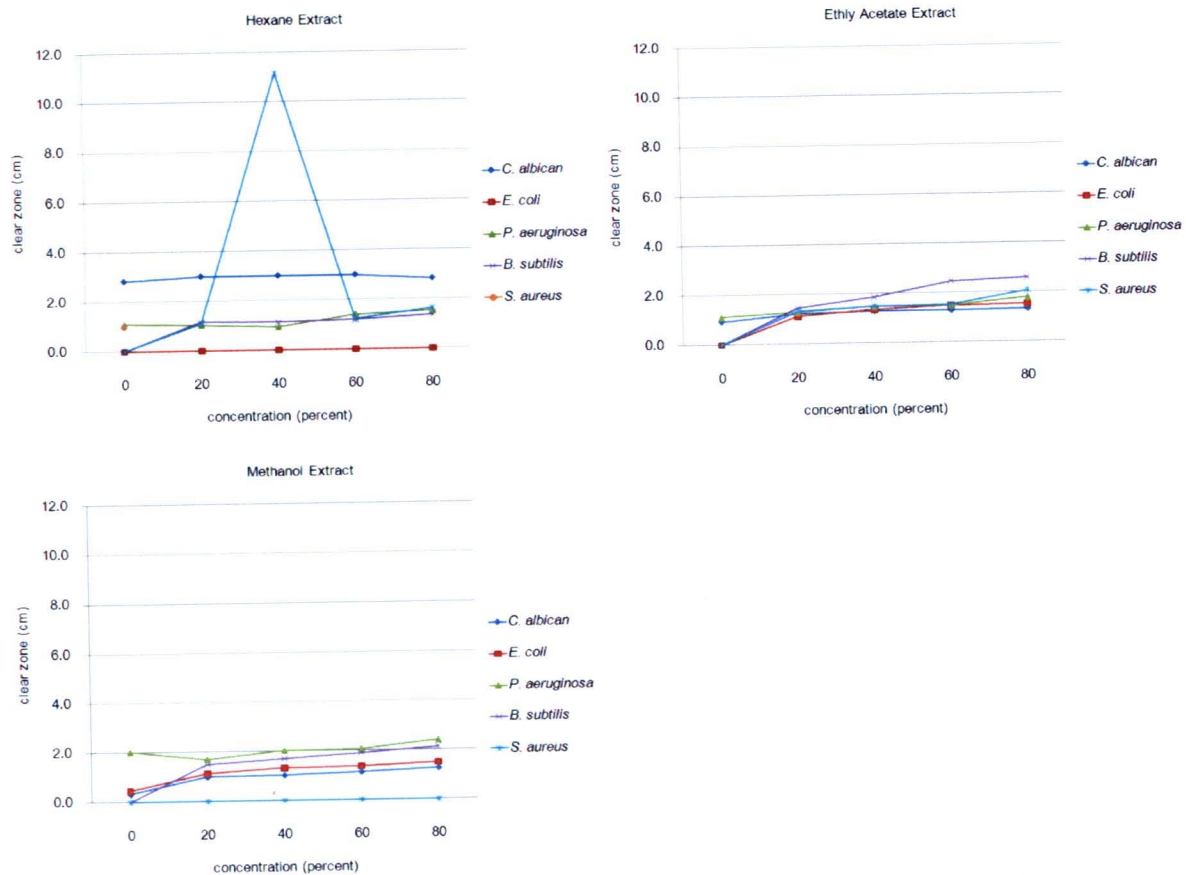
ภาพที่ 16 ขอบเขตการยับยั้ง (clear zone) จากการทดสอบด้วยสารสกัด hairy probioticsจากชันโรงชนิด *T. pagdeni*

สารสกัด hairy probiotics จาก *T. laeviceps* สารสกัด hairy Ethyl Acetate และ Methanol ให้ผลยับยั้งการเจริญของจุลินทรีย์ได้ดีที่สุด ส่วนสารสกัด hairy Hexane ไม่สามารถยับยั้งการเจริญของ *E. coli* ได้เลย (ภาพที่ 17)



ภาพที่ 17 ขอบเขตการยับยั้ง (clear zone) จากการทดสอบด้วยสารสกัดหอยนางรมออลิสจากชันโรงชนิด *T. laeviceps*

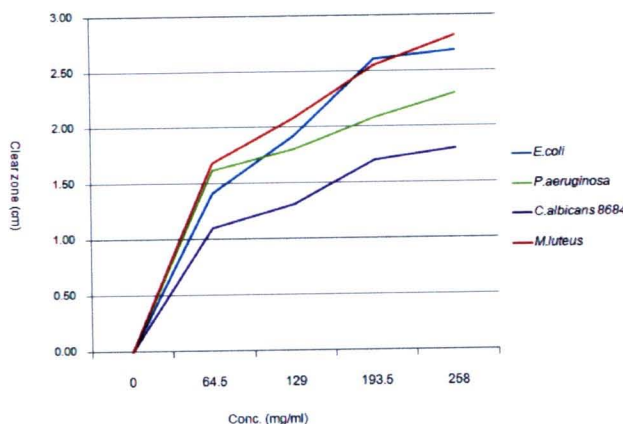
สารสกัดหอยนางรมออลิสจาก *T. terminata* สารสกัดหอยนางรม Ethyl Acetate ให้ผลยับยั้งการเจริญของจุลินทรีย์ได้ดีที่สุดและยับยั้งได้ทุกชนิด ส่วนสารสกัดหอยนางรม Methanol ไม่สามารถยับยั้ง *S. aureus* และสารสกัด Hexane ไม่สามารถยับยั้งการเจริญของ *E. coli* ได้ (ภาพที่ 18)



ภาพที่ 18 ขอบเขตการยับยั้ง (clear zone) จากการทดสอบด้วยสารสกัด hairy root ของพืชจากชันโรงชนิด *T. terminata*

3.3.3 ผลการทดสอบฤทธิ์ในการต้านการเจริญของจุลินทรีย์ ด้วยวิธี Paper disc

diffusion assay (อ้างอิงจาก จุฑากร ชาติไทย, 2553)



ภาพที่ 19 ขอบเขตการยับยั้ง (clear zone) จากการทดสอบด้วยน้ำผึ้งจากชันโรง *T. laeviceps* (ด้วยวิธี paper disc diffusion assay)

ผลการทดสอบฤทธิ์ในการต้านการเจริญของจุลินทรีย์ทั้ง 5 ชนิดในเบื้องต้นด้วยสารสกัดอย่างหยาบ โดยวิธี Paper disc diffusion assay ให้ค่า MIC คือ *M. luteus* (64.5) *P. aeruginosa* (*P. aeruginosa*) *E. coli* (64.5). *C. albicans* ATCC8684 (64.5) และ *C. albicans* ATCC5815 (เชื้อไม่เจริญ จึงทดสอบไม่ได้) (ภาพที่ 19)

3.4 ผลการทดสอบฤทธิ์ในการต้านการเจริญของจุลินทรีย์ต่อแบคทีเรียก่อโรคจากการแยกแฝงก๊าซ

Hexane, 40% MeOH และ CH₂Cl₂

การแยกสารเบื้องต้นตามความมีข้าวของสารโดยการทำ partition ด้วยกรวยแยกสามารถแยกสารได้ทั้งหมด 3 กลุ่ม ผลการทดสอบฤทธิ์ในการต้านการเจริญของจุลินทรีย์ต่อแบคทีเรียก่อโรค ด้วยวิธี microbroth dilution assay ของสารสกัดน้ำผึ้ง ทำให้ได้ค่า MIC ดังตารางที่ 2

ตารางที่ 2 แสดงค่า MIC (mg/ml) และ MBC (mg/ml) ของสารสกัดในแต่ละกลุ่มตัวทำละลายที่แยกได้หลังการทำ partition ด้วยกรวยแยก ที่ทดสอบกับเชื้อแบคทีเรียก่อโรคทั้ง 3 ชนิด

ชนิด	MIC (mg/ml)			MBC (mg/ml)		
	40% MeOH	CH ₂ Cl ₂	hexane	40% MeOH	CH ₂ Cl ₂	Hexane
<i>M. luteus</i>	60	10	20	80	20	40
<i>P. aeruginosa</i>	40	10	20	60	10	20
<i>E. coli</i>	100	-	-	120	-	-

Quick Column Chromatography

การแยกสารจากชั้น hexane และ CH₂Cl₂ ซึ่งมีค่า MIC ต่ำเมื่อเทียบกับ 40% MeOH แสดงว่ามีฤทธิ์ในการต้านการเจริญของเชื้อจุลินทรีย์ต่อแบคทีเรียก่อโรคได้ดีที่สุด โดยการทำ quick column chromatography นั้นสามารถแยกสารได้ทั้งหมด 13 กลุ่ม คือ จาก hexane 4 กลุ่ม และจาก CH₂Cl₂ อีก 9 กลุ่ม

ในการทดสอบฤทธิ์ในการต้านการเจริญของจุลินทรีย์ต่อแบคทีเรียก่อโรคทั้ง 3 ชนิด ด้วยวิธี microbroth dilution assay ของสารสกัดน้ำผึ้ง ครั้งที่ 2 จากสารทั้ง 13 fractions โดยบาง fraction มีแนวโน้มที่สามารถต้านการเจริญ แต่เมื่อวิเคราะห์ทางสถิติแล้วพบว่าไม่สามารถต้านการเจริญได้อย่างมีนัยสำคัญทางสถิติ

3.5 สารออกฤทธิ์ทางชีวภาพที่มีประสิทธิภาพในการยับยั้งจุลินทรีย์ก่อโรค

จากผลการวิเคราะห์ด้วย GC-MS พบรากทั้งหมดกว่า 90 ชนิด ส่วนใหญ่เป็น terpinoids diterpinoids และ phenolic compounds และยังมีกลุ่มสารประกอบไฮโดรคาร์บอนบางส่วน ดังแสดงตามตารางที่ 3 (ภาพที่ 20-28)

ตารางที่ 3 องค์ประกอบเคมีที่เวิเคราะห์ได้จากการสกัดพרוพอลิสชั่นโรงไฟแสดงทักษิณการยับยั่งจุลินทรีย์

ลำดับ	องค์ประกอบ (Compounds)	<i>T. pagdeni</i>			<i>T. laeviceps</i>			<i>T. terminata</i>			
		RT	H	EtOAc	MeOH	H	EtOAc	MeOH	H	EtOAc	MeOH
1	(1-cyclohexen-1-yloxy)trimethyl-Silane	2.158	0.976								
2	2-[{(trimethylsilyl)oxy]-Propanoic acid trimethylsilyl ester	2.17		3.136	1.319		2.912	2.225		1.422	0.973
3	Tetradecane	4.696	0.639	0.575							
4	Trimethylsilyl ether of glycerol	4.761	5.646	5.679	5.92	5.03	7.227	5.418	5.182	4.387	4.747
5	Tridecane	5.01	0.09						0.091		
6	Docosane	8.585	0.889	0.792	0.678	0.733	1.051	0.934	0.953	0.893	0.366
7	Triacontane	8.716	0.258	0.818		0.756			0.811	0.128	
8	(R*,R*)-2,3,4-tris[(trimethylsilyl)oxy]-Butanal	9.338									
9	1,2,3,4-tetrakis[(trimethylsilyl)oxy]-Butane	9.498									
10	.gamma.-lactone, l-2,3,5-tris-O-(trimethylsilyl)-Arabinoic acid	11.994									
11	Dodecanoic acid, trimethylsilyl ester	12.071									
12	10-oxide, 2-chloro-8-ethyl-10-hydroxy-10H-Phenoxyphosphine		12.854						0.119		
13	Hexacosane		13.109	0.111						0.128	
									1.034		0.896



ตารางที่ 3 องค์ประกอบเมื่อวิเคราะห์ด้วยการสกัดพาราฟอลรั่นโรงไฟแสดงถูกนำไปใช้ในการยับยั้งจุลินทรีย์ (ต่อ)

ลำดับ	องค์ประกอบ (Compounds)	T. pagdeni			T. laeviceps			T. terminata			
		RT	H	EtOAc	MeOH	H	EtOAc	MeOH	H	EtOAc	MeOH
14	2-methyl-Eicosane	13.992	0.093								
15	1,2,3,4,5-pentakis-O-(trimethylsilyl)-Xylitol	14.087									1.262
16	1,2,3,4,5-pentakis-O-(trimethylsilyl)-Ribitol	14.176									0.177
17	2,3,4,5,6-pentakis-O-(trimethylsilyl)-L-Altrose	14.378									0.347
18	1,4-Benzenedicarboxylic acid, bis(trimethylsilyl) ester	15.006	0.215	0.205	0.137	0.184	0.377	0.307	0.168	0.503	
19	Tetradecanoic acid, trimethylsilyl ester	16.109	0.314	0.239		0.288	0.477	0.399	0.401	0.289	
20	1,3,4,5,6-pentakis-O-(trimethylsilyl)-D-Fructose	16.648			3.756		0.465	0.783			
21	(1,2,4,5-cyclohexanetetrayltetraoxy)tetraakis(trimethylsilyl)-Silane	17.135									1.134
22	1,2,3,5-tetrakis-O-(trimethylsilyl)-Arabinofuranose	17.135	0.25								0.201
23	methyl 2,3,4,6-tetrakis-O-(trimethylsilyl)-alpha-D-Mannopyranoside	17.336									
24	Heneicosane	17.425	0.164	0.14	0.643	0.94	0.209	0.989	0.71	1.043	0.382
25	Glucopyranose penta TMS	17.538			12.938				0.478		
26	1,2,3,4-tetrakis-O-(trimethylsilyl)-beta-D-Glucopyranuronanic acid, trimethylsilyl ester	17.544							0.772		

ตารางที่ 3 องค์ประกอบเคมีที่เวคราหน้าติดกับสารสกัดพรอพอลิสชนโรงที่แสดงถึงในการยับยั้งจุลินทรีย์ (ต่อ)

ลำดับ	องค์ประกอบ (Compounds)	RT	<i>T. pagdeni</i>			<i>T. laevigatus</i>			<i>T. terminata</i>		
			H	EtOAc	MeOH	H	EtOAc	MeOH	H	EtOAc	MeOH
27	2,3,4,5,6-pentakis-O-(trimethylsilyl)-D-Galactose	17.55									22.693
28	1,2,3,4,6-pentakis-O-(trimethylsilyl)-alpha-D-Galactopyranose	17.787									0.97
29	Methyl 3-(3,5-di-tert-butyl-4-hydroxyphenyl)propionate	17.906	0.278			0.254	0.328	0.296	0.35	0.405	
30	Tetracosane	18.238	0.796								
31	Pentacosane	18.249		1.168	0.719	0.136	1.124	1.151	0.958	0.865	
32	1,2,3,4,5,6-hexakis-O-(trimethylsilyl)-D-Mannitol	18.279			4.406						
33	Hexadecanoic acid, ethyl ester	18.836		0.497	0.762	0.121	0.778	1.448	0.361	0.748	0.193
34	pentakis-O-trimethylsilyl-Glucose	19.406			8.127			0.372			
35	Germanicol	19.429									
36	2,3,4,5,6-pentakis-O-(trimethylsilyl)-Galactonic acid, trimethylsilyl ester	19.643			1.158						
37	2,3,4,5,6-pentakis-O-(trimethylsilyl)-D-Gluconic acid, trimethylsilyl ester	19.648									
38	Hexadecanoic acid, trimethylsilyl ester	19.898	23.988	27.329	19.384	23.19	31.17	33.568	27.137	28.024	11.784

ตารางที่ 3 องค์ประกอบเคมีสำคัญที่ต่างกันในทั้งสองชนิดพืชในการยับยั้งจุลทรรศน์ (μg)

ลำดับ	องค์ประกอบ (Compounds)	<i>T. pagdeni</i>			<i>T. laeviceps</i>			<i>T. terminata</i>			
		RT	H	EtOAc	MeOH	H	EtOAc	MeOH	H	EtOAc	MeOH
39	1,2,3,4,6-pentakis-O-(trimethylsilyl)-beta-D-Glucopyranose	20.437									0.667
40	(Z,Z)-9,12-Octadecadienoic acid, methyl ester	20.674				0.711					
41	9,12,15-Octadecatrienoic acid, methyl ester	20.799				1.26					
42	Triolein	20.811							1.002		
43	1,2,3,4,5,6-hexakis-O-(trimethylsilyl)-Myo-Inositol	21.143									0.202
44	8-heptyl-Pentadecane	21.344		0.472							
45	Linoleic acid ethyl ester	21.896	0.693	1.382	1.589				1.157		
46	9,12-Octadecadienoic acid, ethyl ester	21.896							0.629		
47	Ethyl Oleate	21.961							1.505	2.813	
48	(Z,Z,Z)-9,12,15-Octadecatrienoic acid, ethyl ester,	21.985		1.414	1.831						
49	Octadecanoic acid, ethyl ester	22.459				0.164					0.242
50	(Z,Z)-9,12-Octadecadienoic acid, trimethylsilyl ester	22.785	1.549		0.909	0.429					

ตารางที่ 3 องค์ประกอบเคมีสำคัญในสารสกัดพรวดออลิสซันในตัวอย่างชุดน้ำมันเกรด A ของน้ำมันงาช้าง (ต่อ)

ລົດນີ້	ອັກປະກອບ (Compounds)	RT	<i>T. pagdeni</i>			<i>T. laeviceps</i>			<i>T. terminata</i>		
			H	EtOAc	MeOH	H	EtOAc	MeOH	H	EtOAc	MeOH
51	trans-9-Octadecenoic acid, trimethylsilyl ester	22.85				3.397		4.947			1.313
52	Oleic acid, trimethylsilyl ester	22.868		19.231					2.638		2.325
53	Oleic acid TMS	22.892	3.344		3.003						
54	Retinoic acid, methyl ester	23.063				1.69					
55	Octadecanoic acid, trimethylsilyl ester	23.354	11.251	13.526	8.581	10.17	14.075	14.33	11.932	13.388	5.533
56	Tetracontane	24.967			0.449						0.201
57	2-methyl-Hexadecane	24.985				0.483					
58	2-O-Glycerol-.alpha.-d-galactopyranoside, hexa-TMS	25.127				0.483					
59	1-iodo-Octadecane	25.619				0.569					
60	Eicosanoic acid, trimethylsilyl ester	26.562				0.691					
61	11-cis-Octadecenoic acid, trimethylsilyl ester	26.597				0.556					
62	(Z)-9-Tricosene				28.471				1.321		0.379

ตารางที่ 3 องค์ประกอบของความทิ่มใจในงานบริการ ที่มาจากสารสกัดพวยพอกลิสต์รัตน์ ทรงที่และสอดำรงทาร์ในกระบวนการย่างจุลินทรีย์ (ต่อ)

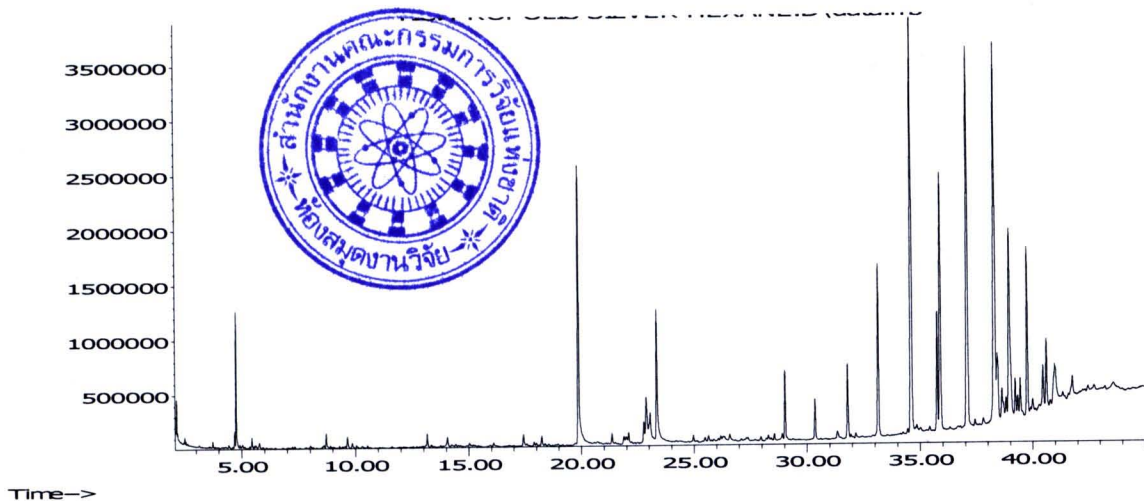
ตารางที่ 3 องค์ประกอบเคมีสำคัญที่ได้จากการย้อมสีและการแยกด้วยวิธี HPLC ในตัวอย่างของน้ำมันงาจันทรี (ต่อ)

ลำดับ	องค์ประกอบ (Compounds)	RT			T. pagdeni			T. laeviceps			T. terminata		
		H	EtOAc	MeOH	H	EtOAc	MeOH	H	EtOAc	MeOH	H	EtOAc	MeOH
75	9-Nonadecene	32.787									4.413	0.98	
76	Nonacosane	33.143	13.056	4.386	0.184	3.547	7.826				2.311	14.451	0.271
77	Octacosane	33.196	0.552	0.994		18.16		0.983			0.505	2.021	
78	4-O-[2,3,4,6-tetrakis-O-(trimethylsilyl)-beta-D-galactopyranosyl]-1,2,3,6-tetrakis-O-(trimethylsilyl)-D-Glucopyranose	33.706											0.879
79	4-O-[2,3,4,6-tetrakis-O-(trimethylsilyl)-beta-D-galactopyranosyl]-2,3,5,6-tetrakis-O-(trimethylsilyl)-D-Glucose	34.382											0.957
80	Eicosane	35.769	8.438	0.325		0.156	0.993	0.643			1.128	0.747	
81	Hentriacontane	35.77					3.855				5.674		
82	Heptadecane	35.811				16.35					21.191		
83	4,4,6a,6b,8a,11,11,14b-Octamethyl-1,4,4a,5,6,6a,6b,7,8,8a,9,10,11,12,12a,14,14a,14b-octadecahydro-2H-pinen-3-one	38.36	3.878	15.685	10.97		18.551				3.67	5.589	1.608
84	.beta.-Amyrin trimethylsilyl ether	38.835	2.288	0.726	1.766	2.914		3.43			6.827	4.056	2.379
85	.alpha.-Amyrin	38.935			10.242								
86	Urs-12-ene	38.971	21.385					8.37					

ตรางานที่ 3 องค์ปูรณะกอบุคคลเมืองวัวเคราะห์ ได้จ้างสาวรังสักพราภรณ์พิเศษนั่นเองที่แสดงถึงภาระที่มีในการรับประทานจุลินทรีย์ (ด้าน)

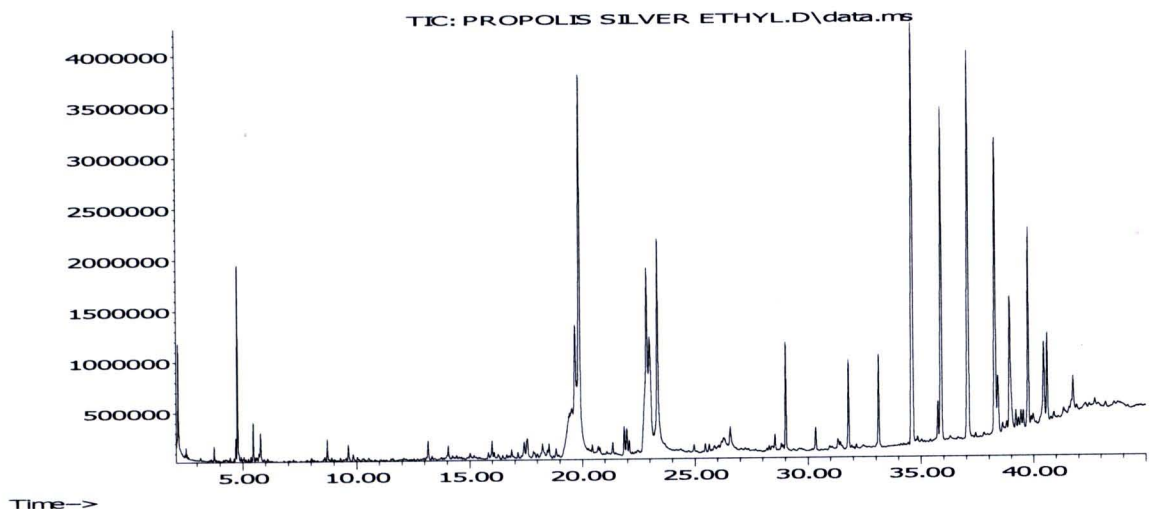
ลำดับ	องค์ประกอบ (Compounds)	<i>T. pagdeni</i>			<i>T. laevisceps</i>			<i>T. terminata</i>			
		RT	H	EtOAc	MeOH	H	EtOAc	MeOH	H	EtOAc	MeOH
87	[(3 beta)-lanosta-9(11),24-dien-3-yloxy]trimethyl-Silane	39.404							2.914		
88	[(3 beta)-lanosta-8,24-dien-3-yloxy]trimethyl-Silane	39.422								1.93	0.389
89	(9,19-cyclo-9.beta.-lanost-24-en-3.beta.-yloxy)trimethyl-Silane	39.445	2.32						2.297		
90	(+)-3-oxo-Urs-12-en-24-oic acid, methyl ester				39.866					0.761	
91	Olean-12-ene				39.89					5.174	

Abundance



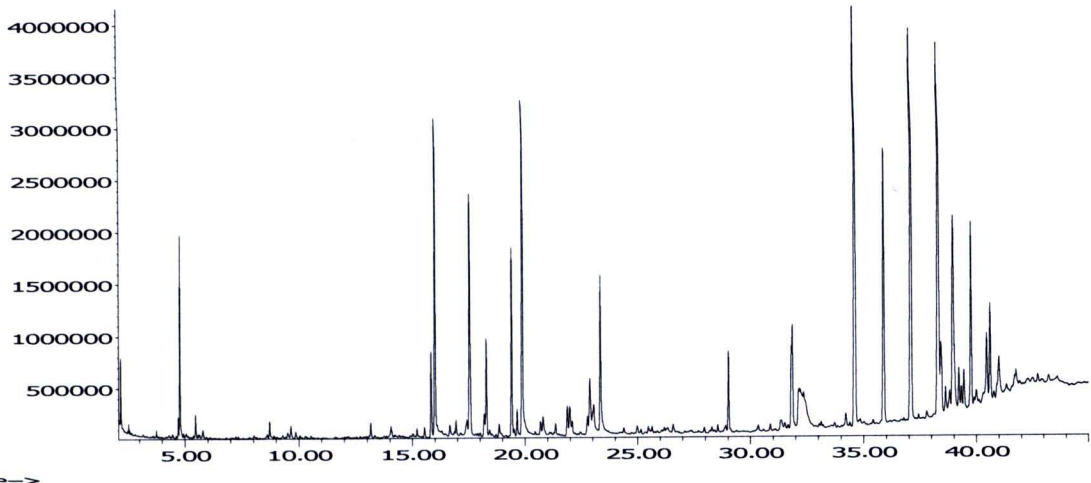
ภาพที่ 20 โครมาໂಡแกรมของ สารสกัด Hexane ของพรอพอลิส จาก *T. pagdeni*

Abundance



ภาพที่ 21 โครมาໂດแกรมของ สารสกัด Ethly acetate ของพรอพอลิส จาก *T. pagdeni*

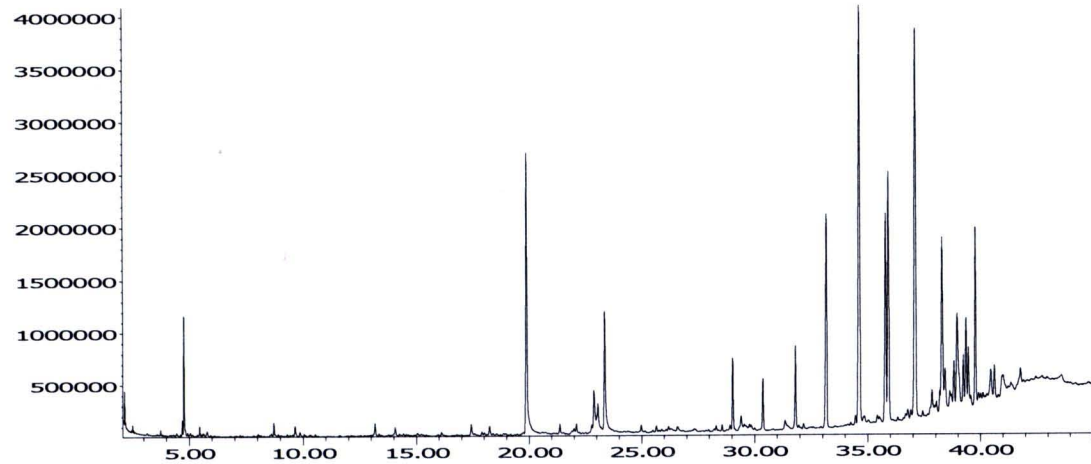
Abundance



Time-->

ภาพที่ 22 โครมาตอกร์มของ สารสกัด Methanol ของพรอพอลิส จาก *T. pagdeni*

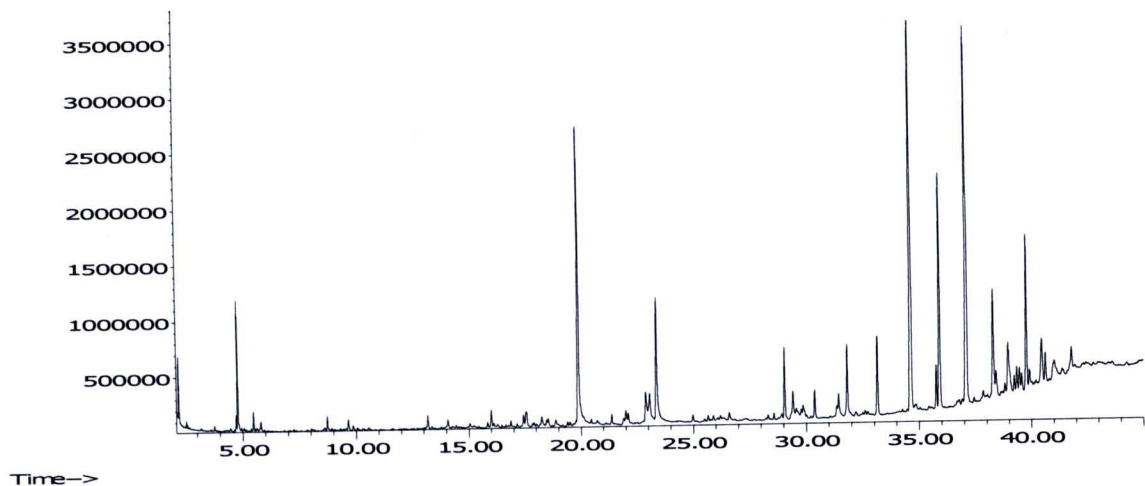
Abundance



Time-->

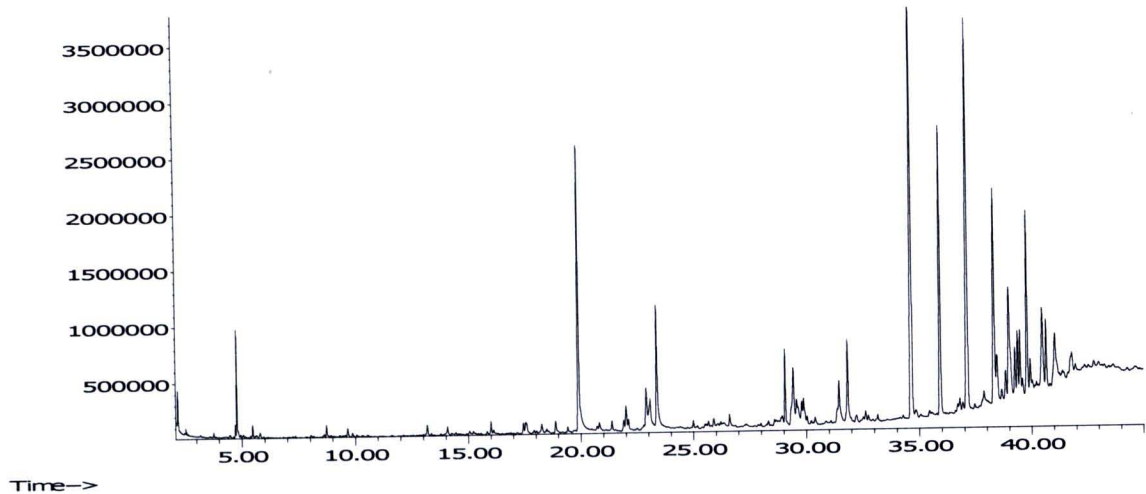
ภาพที่ 23 โครมาตอกร์มของ สารสกัด Hexane ของพรอพอลิส จาก *T. laevisceps*

Abundance



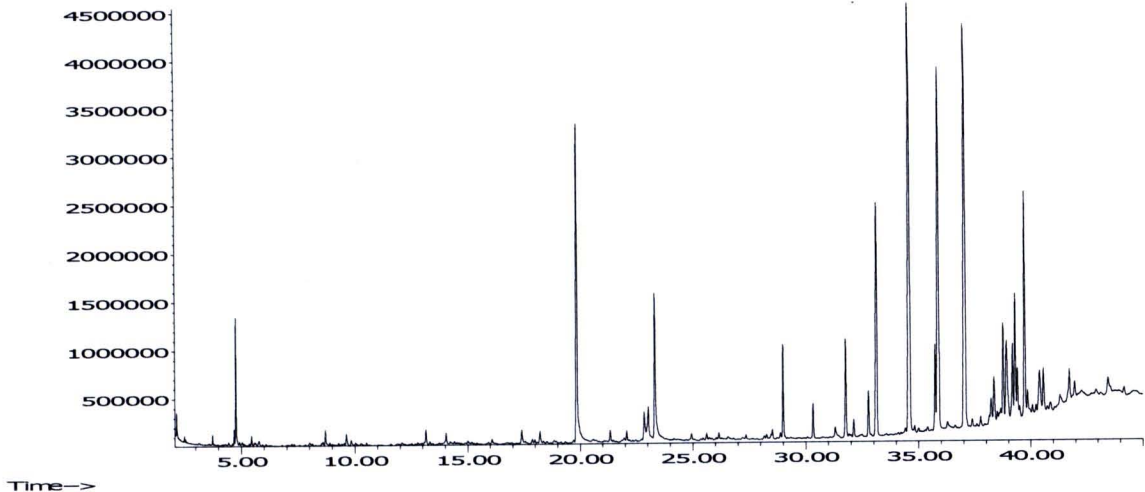
ภาพที่ 24 โครมาตอแกรมของ สารสกัด Ethyl acetate ของพรอพอลิส จาก *T. laevisceps*

Abundance



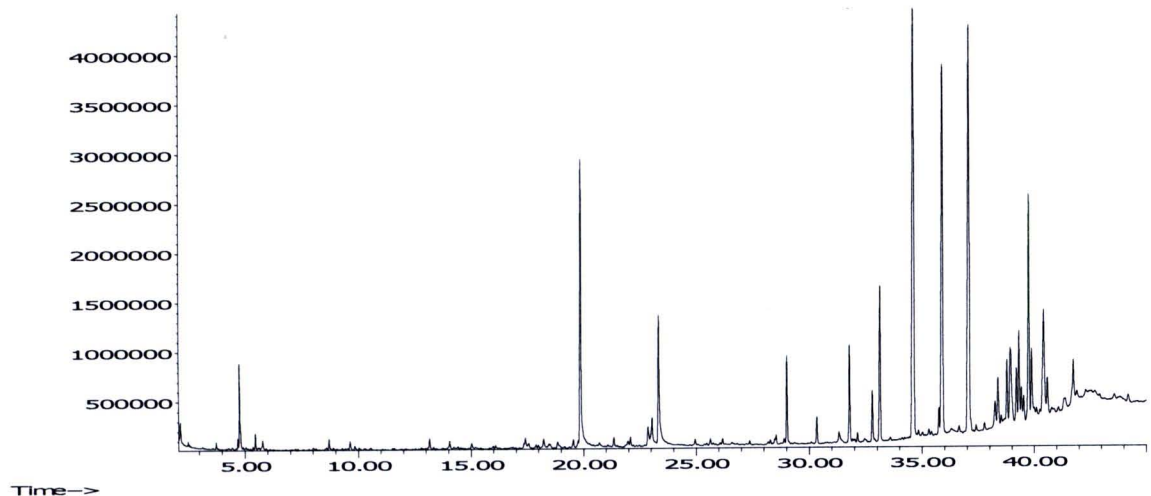
ภาพที่ 25 โครมาตอแกรมของ สารสกัด Methanol ของพรอพอลิส จาก *T. laevisceps*

Abundance

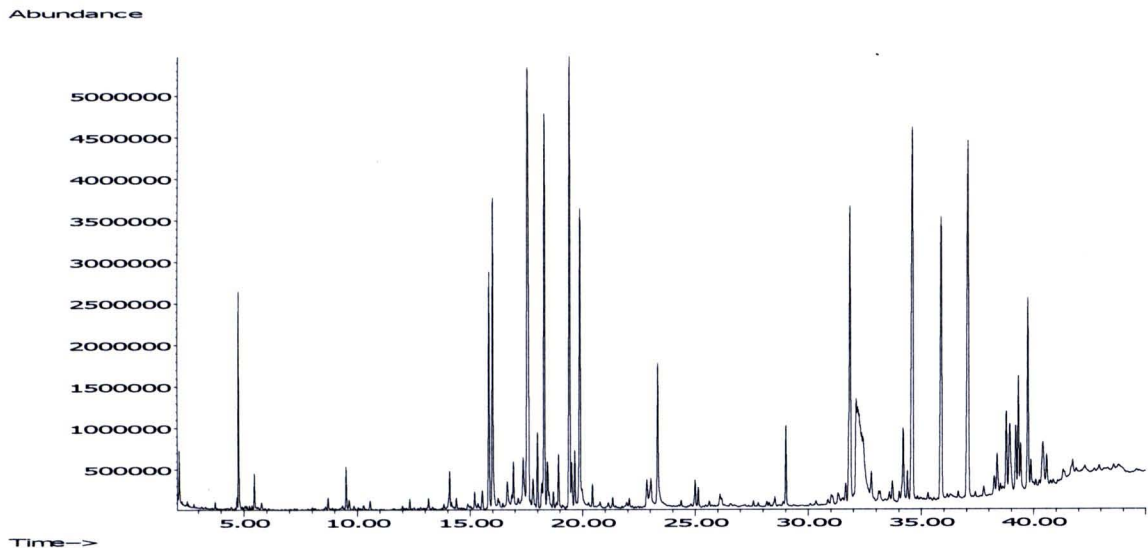


ภาพที่ 26 โครมาตอแกรมของ สารสกัด Hexane ของพรอพอลิส จาก *T. terminata*

Abundance



ภาพที่ 27 โครมาตอแกรมของ สารสกัด Ethyl acetate ของพรอพอลิส จาก *T. terminata*



ภาพที่ 28 โครมาโทแกรมของ สารสกัด Methanol ของพรอพอลิส จาก *T. terminata*